

From QCNN to QAMCNN

QCNN is not the CNN in classical sense, where QAMCNN tries to be.

Q0: 我们想用纯量子神经网络方法挑战诸如 cifar10 等图像分类任务

基本框架：

		[B, D]		[B, NC]	
0>--		--		--	
...--	encoder	--	ansatz	--	pauli
0>--		--	(θ)	--	measure --CELoss(softmax)--

编码器 encoder: 由于 cifar10 图像较大, 我们打算下采样后再 AngleEncode, 直接考虑 AmplitudeEncode
线路拟设 ansatz: Hardware-Efficient Ansatz 效果应该是不好的, 我们直接考虑**看似最合理的** QCNN

接下来就是故事、问题、分析↓↓↓

Q1: 为什么对于 QCNN 而言, AmpEnc 可能不是合理的输入数据结构

以 4×4 标准顺序平铺的图像像素矩阵 M_{ij} 为例:

i\j	0	1	2	3
0	0000	0001	0010	0011
1	0100	0101	0110	0111
2	1000	1001	1010	1011
3	1100	1101	1110	1111

将数据编码到 4-qubit 量子态振幅上，一般而言即：

$$|\psi\rangle = \sum_{k=0}^{15} a_k * |k\rangle$$

其中 a_k 为矩阵 M_{ij} 中各项系数, 使用**行优先**存储, k 为下标索引的二进制串形式

而 QCNN 的结构一般如下 (小端序, 上方低位下方高位):

$(\text{conv1}) \quad (\text{pool1}) \quad (\text{conv2}) \quad (\text{pool2})$
 $|\theta\rangle$ -----|---|--|---|
 | U | | V |
 $|\theta\rangle$ --|---|--|---|--|---|--|---|--|---|
 | U | | | | |
 $|\theta\rangle$ --|---|--|---|--|---|--| | U | | V |
 | U | | V | | | | |
 $|\theta\rangle$ -----|---|--|---|--|---|--|---|--|---|--M

现简化考虑 QCNN 中所用的 U 门结构 (或即任何 [SU\(4\)](#) 族酉阵的成员) 为一个万能 TwoLocal 门, 即作用在相邻比特上的通用两比特门 U , 我们先看一个 U 门的作用:

$$\begin{aligned} |\phi\rangle &= (I^{\otimes 2} \otimes U) |\psi\rangle \\ &= (I^{\otimes 2} \otimes U) |abcd\rangle \\ &= |ab\rangle \otimes U |cd\rangle \\ &= |ab\rangle \otimes (\alpha_0 |00\rangle + \alpha_1 |01\rangle + \alpha_2 |10\rangle + \alpha_3 |11\rangle) \\ &= \alpha_0 |ab00\rangle + \alpha_1 |ab01\rangle + \alpha_2 |ab10\rangle + \alpha_3 |ab11\rangle \end{aligned}$$

可见此操作:

- 在比特意义上: 局部比特相互作用, 打散或整合, 不影响其他比特
- 在振幅意义上: 区分出 4 组, 振幅重分配
- 在图像意义上: 按列加权 (或筛选), 整体地 增加/衰减 某一列的值**

那么两个并排的 U 门呢?

$$\begin{aligned} |\phi\rangle &= (U \otimes U) |abcd\rangle \\ &= U |ab\rangle \otimes U |cd\rangle \\ &= (\alpha_0 |00\rangle + \alpha_1 |01\rangle + \alpha_2 |10\rangle + \alpha_3 |11\rangle) \otimes (\beta_0 |00\rangle + \beta_1 |01\rangle + \beta_2 |10\rangle + \beta_3 |11\rangle) \\ &= (\alpha_0 * Row_0 + \alpha_1 * Row_1 + \alpha_2 * Row_2 + \alpha_3 * Row_3) \otimes (\beta_0 * Col_0 + \beta_1 * Col_1 + \beta_2 * Col_2 + \beta_3 * Col_3) \end{aligned}$$

也就是行-列同时各自成组地重分配了振幅 =_=||

也就是说前半段比特负责行、后半段负责列, 那么上述 QCNN 图示中的第一个 U 门显然就可以同时操作来自行-列的信息了:

$$\begin{aligned} |\phi\rangle &= (I \otimes U \otimes I) |abcd\rangle \\ &= |a\rangle \otimes U |bc\rangle \otimes |d\rangle \\ &= |a\rangle \otimes (\alpha_0 |00\rangle + \alpha_1 |01\rangle + \alpha_2 |10\rangle + \alpha_3 |11\rangle) \otimes |d\rangle \\ &= \alpha_0 |a00d\rangle + \alpha_1 |a01d\rangle + \alpha_2 |a10d\rangle + \alpha_3 |a11d\rangle \end{aligned}$$

注意到这四项分别对应 M_{ij} 中的四个 `stride=2` 的子矩阵, 也就是说这个操作接近于 PixelShuffle/PixelUnshuffle 或 JPEG 原理, 而非经典 CNN 局部滤波模型

a00d>				a01d>				
*	*			*	*			
								...
*	*			*	*			

因此从 AmpEnc 出发, QCNN 的 conv+pool 组合实际在对每个 **稀疏子图** 和 **行-列** 进行振幅重分配, 随后丢弃偶数行-列, 不断重复此过程直到剩余子图足够小, 然后测量...

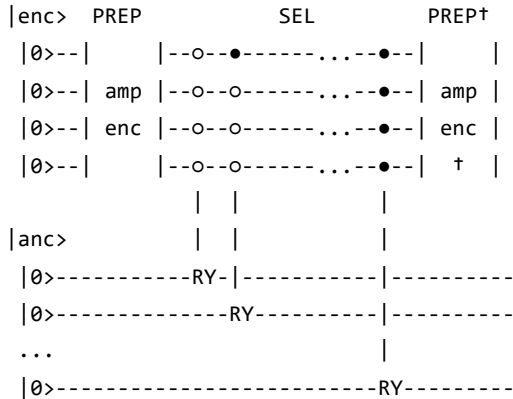
- 一定意义上这种计算结构可以工作, 如果它能够通过振幅重分配
 - 将重要的判别性信息转移到奇数行列 (因此偶数行列可以安全舍弃)
 - 调整这些行-列的整体权重, 亦即相对重要性 (从而映射到判别结果/score/logits)
- 但这种计算结构的建模意义可能比较奇怪

- 提取的图像"特征"总是某行或某列这个整体，无法抽取图像二维意义上的局部信息
- 须注意: AmpEnc+QCNN 和经典 CNN 局部滤波模型在数学上完全不等价!!
 - 破坏了图像二维的邻域性
 - 也不能保证平移不变性

Q2: 那么 AmpEnc 更合理的用法是什么呢

我们认为毫无疑问是 **PREPARE-SELECT** 结构!

引入一个辅助寄存器 $|anc\rangle$ ，我们可以通过多比特控制门，把振幅编码寄存器 $|enc\rangle$ 里的东西读出来，而**不会就地破坏原始数据**：



不难验证，当 $|enc\rangle$ 寄存器中**所有**比特都受控时，对应的 RY 门恰好把振幅编码中对应下标索引的单个分量读取出到 $|anc\rangle$ 寄存器中，以控制位 0010 、转角 $RY(\pi)$ 为例，即：

$$\begin{aligned}
 |\phi\rangle &= \text{mctrl}(RY, 0010) |anc\rangle |enc\rangle \\
 &= \text{mctrl}(RY, 0010) |0\dots 00\rangle \otimes \sum_{k=0}^{15} a_k * |k\rangle \\
 &= |00000000000000\rangle (RY(\pi) |0\rangle) |00\rangle \otimes a_2 |0010\rangle + \text{others} \\
 &= |0000000000000100\rangle \otimes a_2 |0010\rangle + \text{others} \\
 &= a_2 |0000000000000100, 0010\rangle + \sqrt{1-a_2} |0\dots 0\rangle \otimes \sum |abcd\rangle
 \end{aligned}$$

这就 (逻辑意义上) 完美地把第2个像素的值 (从0起计数)，即矩阵系数 a_2 从 $|enc\rangle$ 寄存器转移到了 $|anc\rangle$ 寄存器，此时仅通过访问 $|anc\rangle$ 寄存器就可以取到这个本在 $|enc\rangle$ 中的数据了：

单看 $|anc\rangle$ 中的2号比特，其振幅为 $|anc_2\rangle = a_2 |1\rangle + \sqrt{1-a_2} |0\rangle$

❗ 注意到这个转换是一种 AmplitudeEncode \rightarrow AngleEncode

⚠ 在 NISQ 时代， $|anc\rangle$ 寄存器可能不够大，以至于无法完全解压出 $|enc\rangle$ 中的信息!

那么扩展一下，如果 $|enc\rangle$ 寄存器中只有**部分**比特受控呢：

```

|enc>  PREP      SEL      PREP†
|0>---|      |-----|      | |
|0>---| amp |--o---| amp |
|0>---| enc |--●---| enc |
|0>---|      |--|-----| † |
      |
|anc>      |
|0>-----RY-----

```

显然它选定的是比特串模式 $|x10x\rangle$ ，其中 x 表示 0/1 均可，也即有四项振幅会影响 $|anc\rangle$ 中的辅助比特旋转情况，反过来说即，通过该辅助比特可以取到某四项振幅的线性组合；该例模式对应图像上的像素位置为：

```

|   |   |   |   |
| x | x |   |   |
|   |   |   |   |
| x | x |   |   |

```

注意到它有点像，但并不是 QCNN 里的 **稀疏子图** 选择器，并且看起来只需要一点点额外的设计，它就能实现和经典 CNN 一样的 **局部块选择**了！！

Q3: 如何让 AmpEnc 上的 PREP-SEL 能像 CNN 一样选择到局部块呢

答案是 **QAM 星座图**；我们只需要改变从二维图像平坦转为一维向量时**像素读取的先后顺序**即可！

考虑如下 QAM16 阵列，借助其格雷码的性质，任意一个 2×2 的局部子块都有一个简短的索引：

```

i\j   0      1      2      3
0 | 1011 | 1001 | 0001 | 0011 |
1 | 1010 | 1000 | 0000 | 0010 |
2 | 1110 | 1100 | 0100 | 0110 |
3 | 1111 | 1101 | 0101 | 0111 |

```

简短索引即单个比特模式串/单个多比特控制门控制模式序列，此例中四个角上的矩阵分别是： $|10xx\rangle$ ， $|00xx\rangle$ ， $|11xx\rangle$ ， $|01xx\rangle$ ，中央矩阵是 $|xx00\rangle$ ，还有各边居中的四个分别为 $|1xx0\rangle$ ， $|x10x\rangle$ ， $|0xx0\rangle$ ， $|x00x\rangle$

当扩展到更大的 QAM 矩阵时，所以**并非**所有边长为 2^k 的矩阵都有单一简短索引，但大部分经典 CNN 中所关心的块位置是可以取到简短索引到的，这暗示我们也许**有希望在量子神经网络模型里复刻经典 CNN 的数学结构**！

Q4: pseudo-QAMCNN: QAM顺序真的比朴素的行扫描好吗

标准 QCNN 搭配 QAM 平坦化策略，在数学上会有什么区别呢？

还是先来看一个 U 门做了什么 (注意我们先把 U 放在高位比特上)：

$$\begin{aligned}
|\phi\rangle &= (U \otimes I^{\otimes 2}) |\psi\rangle \\
&= (U \otimes I^{\otimes 2}) |abcd\rangle \\
&= U |ab\rangle \otimes |cd\rangle \\
&= (\alpha_0 |00\rangle + \alpha_1 |01\rangle + \alpha_2 |10\rangle + \alpha_3 |11\rangle) \otimes |cd\rangle \\
&= \alpha_0 |00cd\rangle + \alpha_1 |01cd\rangle + \alpha_2 |10cd\rangle + \alpha_3 |11cd\rangle \\
&= \alpha_0 |\nearrow\rangle + \alpha_1 |\searrow\rangle + \alpha_2 |\nwarrow\rangle + \alpha_3 |\swarrow\rangle
\end{aligned}$$

可见此操作在图像意义上：

- 选出了右上、左下、左上、右下的四个 2x2 小块
- 重分配了这四块的振幅，某种意义上是一个 spatial attn!!

那么两个并排的 U 门呢？

- 分析可知低比特上的 U 门同样选出了四小块，但是不具备图像像素连续性，没用、甚至是坏的
- 标准 QCNN 线路设计可能**不直接匹配**我们的新数据结构

总地说来线路的工作方式变化 (稀疏子块/行/列 → 局部块)

- conv: 选择一些局部块，重分配振幅
- pool: 丢弃掉一半的局部块

但我们做了消融实验，qam 比 std 稳定地好一点，也确实只能好一丁点 (1~2个百分点的量级)

flat	enc	clf	train acc	test acc	comment
std	AmpEnc	QCNN			基线方法
qam	AmpEnc	QCNN			过渡性的优化解决方案
qam	AmpEnc	QAMCNN			这才是我们最终的目标！！

❗ 我们认为这主要是 QCNN 的锅，而不是 QAM，应该着手设计匹配的线路 ((逃

Q5: QAMCNN: QAM 平坦策略加上基于 PREP-SEL 结构的线路，能做出数学上等价的 CNN 吗

我们相信在**理论**上应该是可以逼近的！

纲领：我们的计算一定要以振幅为中心，信息编码到振幅，计算也是幅值上的算数运算，最终结果也出现在某些项的振幅之中

目前限制我们继续推进设计-实现的主要因素是经典计算机无法模拟更大的 $|\text{anc}\rangle$ ，存不下太大的 feature map，也就无从谈论在**实践**上对标经典 CNN——毕竟我们的经典内存已经太便宜了，空间复杂度很少被考虑...